

# Variedades de representaciones y de caracteres

---

Santiago Pareja Pérez

19 de enero de 2024

# Representaciones de grupos y variedades de caracteres

---

## Definición

Un **grupo algebraico**  $G$  es una **variedad algebraica** que también es grupo de manera compatible:

- El producto  $m: G \times G \rightarrow G$  dado por  $(g, h) \mapsto g \cdot h$  es morfismo.
- La inversión  $i: G \rightarrow G$  dada por  $g \mapsto g^{-1}$  es morfismo.

Nosotros nos centraremos en grupos algebraicos **afines**.

Ejemplos: Grupos de Lie analíticos (por GAGA).  $GL_n(\mathbb{C})$ ,  $SL_n(\mathbb{C})$ ,  $SO_n(\mathbb{C})$ ...

# Representaciones de grupos

Sea  $G$  grupo algebraico “bueno” fijo (usaremos grupos de matrices).

Sea  $\Gamma$  grupo finitamente generado.

Una **representación** de  $\Gamma$  en  $G$  es un homomorfismo  $\Gamma \rightarrow G$ .

Es un modo de ver  $\Gamma$  dentro de  $G$ , quizás con pérdida de información.

Estudiamos un grupo «difícil» a partir de otro que conocemos bien.

Algunos ejemplos:

$$\begin{array}{lll} \Gamma \longrightarrow G & \mathbb{Z}/n\mathbb{Z} \longrightarrow \mathbb{G}_m := (\mathbb{C} \setminus \{0\}, \cdot) & \mathbb{G}_m^2 \longrightarrow \mathrm{GL}_2(\mathbb{C}) \\ \gamma \longmapsto 1 & \xi^m \longmapsto e^{\frac{2m\pi}{n}i} & (a, b) \longmapsto \begin{bmatrix} a & 0 \\ 0 & b \end{bmatrix} \end{array}$$

La **variedad de representaciones**  $\mathcal{R}_G(\Gamma)$  de  $\Gamma$  en  $G$  es  $\mathrm{Hom}(\Gamma, G)$  dotado de cierta estructura algebraica. (Será distinta al  $\mathrm{Spec}$ ).

# Representaciones de grupos

Sea  $G$  grupo algebraico “bueno” fijo (usaremos grupos de matrices).

Sea  $\Gamma$  grupo finitamente generado.

Una **representación** de  $\Gamma$  en  $G$  es un homomorfismo  $\Gamma \rightarrow G$ .

Es un modo de **ver  $\Gamma$  dentro de  $G$** , quizás con pérdida de información.

Estudiamos un grupo «difícil» a partir de otro que conocemos bien.

Algunos ejemplos:

$$\begin{array}{lll} \Gamma \longrightarrow G & \mathbb{Z}/n\mathbb{Z} \longrightarrow \mathbb{G}_m := (\mathbb{C} \setminus \{0\}, \cdot) & \mathbb{G}_m^2 \longrightarrow \mathrm{GL}_2(\mathbb{C}) \\ \gamma \longmapsto 1 & \xi^m \longmapsto e^{\frac{2m\pi}{n}i} & (a, b) \longmapsto \begin{bmatrix} a & 0 \\ 0 & b \end{bmatrix} \end{array}$$

La **variedad de representaciones**  $\mathcal{R}_G(\Gamma)$  de  $\Gamma$  en  $G$  es  $\mathrm{Hom}(\Gamma, G)$  dotado de cierta estructura algebraica. (Será distinta al  $\mathrm{Spec}$ ).

# Representaciones de grupos

Sea  $G$  grupo algebraico “bueno” fijo (usaremos grupos de matrices).

Sea  $\Gamma$  grupo finitamente generado.

Una **representación** de  $\Gamma$  en  $G$  es un homomorfismo  $\Gamma \rightarrow G$ .

Es un modo de ver  $\Gamma$  dentro de  $G$ , quizás con pérdida de información.

Estudiamos un grupo «difícil» a partir de otro que conocemos bien.

Algunos ejemplos:

$$\begin{array}{lll} \Gamma \longrightarrow G & \mathbb{Z}/n\mathbb{Z} \longrightarrow \mathbb{G}_m := (\mathbb{C} \setminus \{0\}, \cdot) & \mathbb{G}_m^2 \longrightarrow \mathrm{GL}_2(\mathbb{C}) \\ \gamma \longmapsto 1 & \xi^m \longmapsto e^{\frac{2m\pi}{n}i} & (a, b) \longmapsto \begin{bmatrix} a & 0 \\ 0 & b \end{bmatrix} \end{array}$$

La **variedad de representaciones**  $\mathcal{R}_G(\Gamma)$  de  $\Gamma$  en  $G$  es  $\mathrm{Hom}(\Gamma, G)$  dotado de cierta estructura algebraica. (Será distinta al  $\mathrm{Spec}$ ).

# Variedad de representaciones

Variedad de representaciones  $\mathcal{R}_G(\Gamma)$  de  $\Gamma$  en  $G$ :  $\text{Hom}(\Gamma, G)$  + estructura.

Sea  $\Gamma$  finitamente generado. Escogemos una presentación.

$$\Gamma = \langle \gamma_1, \dots, \gamma_n \mid R_\alpha(\gamma_1, \dots, \gamma_n) = 1 \rangle.$$

Tenemos el monomorfismo de grupos

$$\begin{aligned} \psi: \text{Hom}(\Gamma, G) &\longrightarrow G^n \\ \rho &\mapsto (\rho(\gamma_1), \dots, \rho(\gamma_n)). \end{aligned}$$

Identificamos  $\text{Hom}(\Gamma, G)$  con la **variedad imagen**.

$$\text{Im } \psi = \{(g_1, \dots, g_n) \in G^n \mid R_\alpha(g_1, \dots, g_n) = 1\}.$$

No depende de la presentación de  $\Gamma$  escogida. Definimos así estructura de variedad en  $\text{Hom}(\Gamma, G)$ .

Tenemos un bifunctor  $\text{GruposFG} \times \text{GruposAlg} \rightarrow \text{VariedadesAlg}$ .

# Variedad de representaciones

Variedad de representaciones  $\mathcal{R}_G(\Gamma)$  de  $\Gamma$  en  $G$ :  $\text{Hom}(\Gamma, G)$  + estructura.

Sea  $\Gamma$  finitamente generado. Escogemos una presentación.

$$\Gamma = \langle \gamma_1, \dots, \gamma_n \mid R_\alpha(\gamma_1, \dots, \gamma_n) = 1 \rangle.$$

Tenemos el monomorfismo de grupos

$$\begin{aligned} \psi: \text{Hom}(\Gamma, G) &\longrightarrow G^n \\ \rho &\mapsto (\rho(\gamma_1), \dots, \rho(\gamma_n)). \end{aligned}$$

Identificamos  $\text{Hom}(\Gamma, G)$  con la variedad imagen.

$$\text{Im } \psi = \{(g_1, \dots, g_n) \in G^n \mid R_\alpha(g_1, \dots, g_n) = 1\}.$$

No depende de la presentación de  $\Gamma$  escogida. Definimos así estructura de variedad en  $\text{Hom}(\Gamma, G)$ .

Tenemos un bifuntor  $\text{GruposFG} \times \text{GruposAlg} \rightarrow \text{VariedadesAlg}$ .



$\mathcal{R}_G(\Gamma)$  tiene mucha redundancia. Queremos hacerla más manejable. Colapsamos las representaciones isomorfas entre sí: cocientamos por la **acción por conjugación**.

$$\begin{aligned} G \times \mathcal{R}_G(\Gamma) &\longrightarrow \mathcal{R}_G(\Gamma) \\ (g, \rho) &\longmapsto \rho^g := \gamma \mapsto g \cdot \rho(\gamma) \cdot g^{-1}. \end{aligned}$$

La acción no es libre ni propia, en general.

El cociente es un stack: el *stack de caracteres* de  $\Gamma$  en  $G$ .

No queremos trabajar con stacks. Vamos a ver un modo de construir algo parecido a este cociente.

# Stack de caracteres

$\mathcal{R}_G(\Gamma)$  tiene mucha redundancia. Queremos hacerla más manejable. Colapsamos las representaciones isomorfas entre sí: cocientamos por la acción por conjugación.

$$\begin{aligned} G \times \mathcal{R}_G(\Gamma) &\longrightarrow \mathcal{R}_G(\Gamma) \\ (g, \rho) &\longmapsto \rho^g := \gamma \mapsto g \cdot \rho(\gamma) \cdot g^{-1}. \end{aligned}$$

La acción **no es libre ni propia**, en general.

El cociente es un **stack**: el **stack de caracteres** de  $\Gamma$  en  $G$ .

No queremos trabajar con stacks. Vamos a ver un modo de construir algo parecido a este cociente.

## ¿Cómo podemos hacer más manejable este cociente? (1/2)

Nos olvidamos por un momento de las representaciones.

Un cociente malo:  $\mathbb{C}^2$  y la acción del grupo multiplicativo  $\mathbb{G}_m = \mathbb{C} \setminus \{0\}$ .

$$\begin{aligned}\mathbb{G}_m \times \mathbb{C}^2 &\longrightarrow \mathbb{C}^2 \\ (\lambda, (x, y)) &\longmapsto (\lambda x, \lambda^{-1} y).\end{aligned}$$

Las órbitas son el origen, los ejes y las hipérbolas  $xy = a$ .



Tenemos un punto múltiple en el origen. Pero se parece a  $\mathbb{A}_{\mathbb{C}}^1$ .

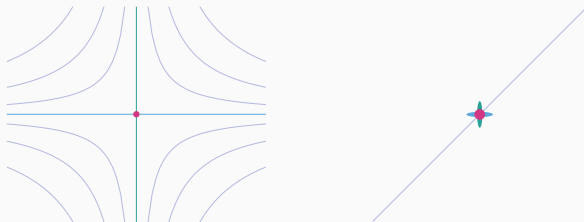
## ¿Cómo podemos hacer más manejable este cociente? (1/2)

Nos olvidamos por un momento de las representaciones.

Un cociente malo:  $\mathbb{C}^2$  y la acción del grupo multiplicativo  $\mathbb{G}_m = \mathbb{C} \setminus \{0\}$ .

$$\begin{aligned}\mathbb{G}_m \times \mathbb{C}^2 &\longrightarrow \mathbb{C}^2 \\ (\lambda, (x, y)) &\longmapsto (\lambda x, \lambda^{-1} y).\end{aligned}$$

Las órbitas son el origen, los ejes y las hipérbolas  $xy = a$ .



Tenemos un punto múltiple en el origen. Pero se parece a  $\mathbb{A}_{\mathbb{C}}^1$ .

## ¿Cómo podemos hacer más manejable este cociente? (2/2)



Identificamos dos órbitas si **sus clausuras** se intersecan.

Más algebraicamente:

Las funciones continuas  $G$ -invariantes no son capaces de diferenciar el punto múltiple. ( $f(gp) = f(p)$ ).

Consideramos el álgebra de funciones  $G$ -invariantes  $A(X)^G \subset A(X)$ .

Tomamos su Spec. En este caso, es  $\text{Spec } \mathbb{C}[xy] \cong \mathbb{A}_{\mathbb{C}}^1$ .

Obtenemos así el llamado **cociente GIT** (Geometric Invariant Theory).

## ¿Cómo podemos hacer más manejable este cociente? (2/2)



Identificamos dos órbitas si sus clausuras se intersectan.

Más algebraicamente:

Las funciones continuas  $G$ -invariantes **no son capaces de diferenciar** el punto múltiple. ( $f(gp) = f(p)$ ).

Consideramos el álgebra de funciones  $G$ -invariantes  $A(X)^G \subset A(X)$ .

Tomamos su Spec. En este caso, es  $\text{Spec } \mathbb{C}[xy] \cong \mathbb{A}_{\mathbb{C}}^1$ .

Obtenemos así el llamado **cociente GIT** (Geometric Invariant Theory).

# El cociente GIT

El **cociente GIT**  $\pi: X \rightarrow X//G$  se define mediante propiedad universal:

$$\begin{array}{ccc} X & \xrightarrow{f} & Z \\ \downarrow \pi & \nearrow \tilde{f} & \\ X//G & & \end{array} \quad \exists! \tilde{f}$$

con  $\pi, f$  funciones regulares **G-invariantes**.

Existe (**como esquema**), y es  $X//G := \text{Spec } A(X)^G$ .

(El álgebra  $A(X)^G$  puede tener infinitos generadores).

**Teorema (M. Nagata, 1963)**

*Si  $X$  es variedad afín y  $G$  es reductivo,  $A(X)^G$  es finitamente generada.*

**Corolario**

*Si  $X$  es variedad afín y  $G$  es reductivo, entonces  $X//G$  es variedad afín.*

Ejemplos de grupos reductivos:  $GL_n(\mathbb{C})$ ,  $SL_n(\mathbb{C})$ ,  $SO_n(\mathbb{C})$ ...

# El cociente GIT

El **cociente GIT**  $\pi: X \rightarrow X//G$  se define mediante propiedad universal:

$$\begin{array}{ccc} X & \xrightarrow{f} & Z \\ \downarrow \pi & \nearrow \tilde{f} & \\ X//G & & \end{array} \quad \exists! \tilde{f}$$

con  $\pi, f$  funciones regulares  $G$ -invariantes.

Existe (como esquema), y es  $X//G := \operatorname{Spec} A(X)^G$ .

(El álgebra  $A(X)^G$  puede tener infinitos generadores).

## Teorema (M. Nagata, 1963)

Si  $X$  es variedad afín y  $G$  es **reductivo**,  $A(X)^G$  es finitamente generada.

## Corolario

Si  $X$  es variedad afín y  $G$  es reductivo, entonces  $X//G$  es variedad afín.

Ejemplos de grupos reductivos:  $GL_n(\mathbb{C})$ ,  $SL_n(\mathbb{C})$ ,  $SO_n(\mathbb{C})$ ...



# Variedades de caracteres

Recordar que el stack de caracteres es el cociente  $\mathcal{R}_G(\Gamma)/G$ .

## Definición

La **variedad de caracteres** de  $\Gamma$  en  $G$  es el cociente GIT

$$\mathcal{C}_G(\Gamma) := \mathcal{R}_G(\Gamma) // G.$$

En general, son esquemas, por lo mismo que antes.

**Corolario** (M. Nagata, 1963)

*Si  $X$  es variedad afín y  $G$  es reductivo, entonces  $X // G$  es variedad afín.*

**Corolario**

*Si  $G$  es grupo algebraico afín y reductivo, entonces  $\mathcal{C}_G(\Gamma)$  es var. afín.*

Ejemplos de grupos buenos:  $GL_n(\mathbb{C})$ ,  $SL_n(\mathbb{C})$ ,  $SO_n(\mathbb{C})$ ...

# Variedades de caracteres

Recordar que el stack de caracteres es el cociente  $\mathcal{R}_G(\Gamma)/G$ .

## Definición

La **variedad de caracteres** de  $\Gamma$  en  $G$  es el cociente GIT

$$\mathcal{C}_G(\Gamma) := \mathcal{R}_G(\Gamma) // G.$$

En general, son esquemas, por lo mismo que antes.

## Corolario (M. Nagata, 1963)

Si  $X$  es variedad afín y  $G$  es reductivo, entonces  $X // G$  es variedad afín.

## Corolario

Si  $G$  es grupo **algebraico afín** y **reductivo**, entonces  $\mathcal{C}_G(\Gamma)$  es var. afín.

Ejemplos de grupos buenos:  $GL_n(\mathbb{C})$ ,  $SL_n(\mathbb{C})$ ,  $SO_n(\mathbb{C})$ ...

## ¿Por qué “de caracteres”?

Sea  $G \subset GL_n(\mathbb{C})$  un grupo lineal.

### Definición

El **carácter** de una representación  $\rho \in \text{Hom}(\Gamma, G)$  es la función

$$\begin{aligned}\chi_\rho: \Gamma &\longrightarrow \mathbb{C} \\ \gamma &\longmapsto \text{tr } \rho(\gamma).\end{aligned}$$

Sería más adecuado definir la variedad de caracteres como el conjunto de caracteres de  $\Gamma$  en  $G$ , equipado con estructura algebraica.

*Para grupos adecuados, esto es equivalente al cociente GIT  $\mathcal{R}_G(\Gamma) // G$ . Por ejemplo, lo es para  $SL_n(\mathbb{C})$ , pero no para  $SO_2(\mathbb{C})$ .*

En la segunda parte trabajaremos sobre  $G = SL_2(\mathbb{C})$ .

## ¿Por qué “de caracteres”?

Sea  $G \subset GL_n(\mathbb{C})$  un grupo lineal.

### Definición

El **carácter** de una representación  $\rho \in \text{Hom}(\Gamma, G)$  es la función

$$\begin{aligned}\chi_\rho: \Gamma &\longrightarrow \mathbb{C} \\ \gamma &\longmapsto \text{tr } \rho(\gamma).\end{aligned}$$

Sería más adecuado definir la variedad de caracteres como el conjunto de caracteres de  $\Gamma$  en  $G$ , equipado con estructura algebraica.

*Para grupos adecuados*, esto es equivalente al cociente GIT  $\mathcal{R}_G(\Gamma) // G$ . Por ejemplo, lo es para  $SL_n(\mathbb{C})$ , pero no para  $SO_2(\mathbb{C})$ .

En la segunda parte trabajaremos sobre  $G = SL_2(\mathbb{C})$ .

## ¿Por qué hacer todo esto?

Las variedades de caracteres son ubicuas.

Móduli de conexiones planas Fibrados  
holomorfos Móduli de fibrados de Higgs  
Skein modules Conexiones de Yang-Mills Simetría  
especular  $(G, X)$ -estructuras **A-polinomio**  
Invariantes de nudos Variedades hiperbólicas  
Teoría de Hodge no abeliana Cuantización  
Redes de espín Programa de Langlands Geométrico  
Teoría de cuerdas Teorías topológicas de  
campos cuánticos

## El A-polinomio de un nudo

---

## Definición

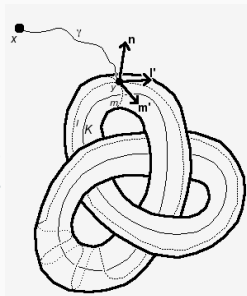
Un **nudo** (manko) es la imagen de un encaje suave  $K: \mathbb{S}^1 \hookrightarrow \mathbb{S}^3$ .

El **exterior** de un nudo es el complementario de un **entorno tubular abierto** suyo:  $X = \mathbb{S}^3 - \eta(K)$ . Es una 3-variedad con borde compacta.

El **grupo** de un nudo es el grupo fundamental de su exterior:  $\pi_1(X)$ .

La frontera de  $X$  es un toro  $\mathbb{T} = \partial X$ .

Llamamos **subgrupo periférico** a  $\pi_1(\mathbb{T}) \cong \mathbb{Z} \times \mathbb{Z}$ ,  
y **longitud** y **meridiano** a sus dos generadores.  
Dichos generadores se intersecan (transversalmente) en un único punto.



## Definición

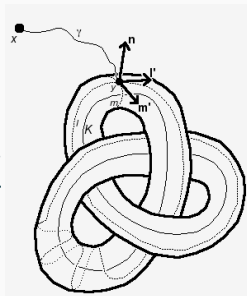
Un **nudo** (manko) es la imagen de un encaje suave  $K: \mathbb{S}^1 \hookrightarrow \mathbb{S}^3$ .

El **exterior** de un nudo es el complementario de un entorno tubular abierto suyo:  $X = \mathbb{S}^3 - \eta(K)$ . Es una 3-variedad con borde compacta.

El **grupo** de un nudo es el grupo fundamental de su exterior:  $\pi_1(X)$ .

La frontera de  $X$  es un toro  $\mathbb{T} = \partial X$ .

Llamamos **subgrupo periférico** a  $\pi_1(\mathbb{T}) \cong \mathbb{Z} \times \mathbb{Z}$ ,  
y *longitud* y *meridiano* a sus dos generadores.  
Dichos generadores se intersecan (transversalmente) en un único punto.





# Invariantes de nudos

Dos nudos se consideran *equivalentes* si son isótopos ambientales.  
( $\exists$  homotopía  $h: \mathbb{S}^3 \times I \rightarrow \mathbb{S}^3$  t.q.  $h_0 = \text{Id}$ ,  $h_1 \circ K_1 = K_2$ ,  $h_t \in \text{Homeo } \mathbb{S}^3$ ).

Un invariante es **completo** si resuelve el problema de clasificación.

## Teorema (Waldhausen, 1968)

El encaje  $\pi_1(\partial X) \hookrightarrow \pi_1(X)$  es un invariante de nudos **completo**.

Es muy potente, pero es (*muy*) difícil de computar.

La mayoría de invariantes de nudos son incompletos (pierden información), pero a cambio son más sencillitos de computar.

El grupo fundamental es sencillo de calcular: la presentación de Wirtinger da un algoritmo para computarlo a partir de su diagrama.

# Invariantes de nudos

Dos nudos se consideran *equivalentes* si son isótopos ambientales.  
( $\exists$  homotopía  $h: \mathbb{S}^3 \times I \rightarrow \mathbb{S}^3$  t.q.  $h_0 = \text{Id}$ ,  $h_1 \circ K_1 = K_2$ ,  $h_t \in \text{Homeo } \mathbb{S}^3$ ).

Un invariante es **completo** si resuelve el problema de clasificación.

## Teorema (Waldhausen, 1968)

*El encaje  $\pi_1(\partial X) \hookrightarrow \pi_1(X)$  es un invariante de nudos completo.*

Es muy potente, pero es (*muy*) difícil de computar.

La mayoría de invariantes de nudos son incompletos (pierden información), pero a cambio son más sencillitos de computar.

El grupo fundamental es sencillo de calcular: la **presentación de Wirtinger** da un algoritmo para computarlo a partir de su diagrama.

# Representaciones de grupos de nudos en $SL_2(\mathbb{C})$

Trabajaremos con representaciones sobre  $SL_2(\mathbb{C})$ .

- ¿Por qué  $SL_2(\mathbb{C})$ ?

Porque es el más estudiado en este contexto.

- ¿Por qué es el más estudiado?

Muchos nudos son *hiperbólicos*, admiten una métrica de curvatura constante negativa en su complementario.

Es decir, son cociente de  $\mathbb{H}^3$  por un subgrupo de  $\text{Isom}^+(\mathbb{H}^3) \cong \text{PSL}_2(\mathbb{C})$ .

# Representaciones de grupos de nudos en $SL_2(\mathbb{C})$

Trabajaremos con representaciones sobre  $SL_2(\mathbb{C})$ .

- ¿Por qué  $SL_2(\mathbb{C})$ ?

Porque es el más estudiado en este contexto.

- ¿Por qué es el más estudiado?

Muchos nudos son *hiperbólicos*, admiten una métrica de curvatura constante negativa en su complementario.

Es decir, son cociente de  $\mathbb{H}^3$  por un subgrupo de  $\text{Isom}^+(\mathbb{H}^3) \cong \text{PSL}_2(\mathbb{C})$ .

# Representaciones de grupos de nudos en $SL_2(\mathbb{C})$

Trabajaremos con representaciones sobre  $SL_2(\mathbb{C})$ .

- ¿Por qué  $SL_2(\mathbb{C})$ ?

Porque es el más estudiado en este contexto.

- ¿Por qué es el más estudiado?

Muchos nudos son *hiperbólicos*, admiten una métrica de curvatura constante negativa en su complementario.

Es decir, son cociente de  $\mathbb{H}^3$  por un subgrupo de  $\text{Isom}^+(\mathbb{H}^3) \cong \text{PSL}_2(\mathbb{C})$ .

## El A-polinomio de un nudo (1/2)

Sea un nudo  $K$  y sea  $X$  su exterior. Elegimos generadores de su subgrupo periférico  $\pi_1(\partial X)$ : longitud  $L$  y meridiano  $M$ . (Base  $B = (L, M)$ ).

Proyectamos  $\mathcal{R}(K) := \mathcal{R}_{\mathrm{SL}_2(\mathbb{C})}(\pi_1(X))$  a otra variedad más pequeña: restringimos cada representación  $\rho: \pi_1(X) \rightarrow \mathrm{SL}_2(\mathbb{C})$  a  $\pi_1(\partial X)$ .

$$\begin{aligned} r: \mathcal{R}(K) &\longrightarrow \mathcal{R}(\partial X) & r: \mathcal{C}(K) &\longrightarrow \mathcal{C}(\partial X) \\ \rho &\longmapsto \rho|_{\pi_1(\partial X)}, & [\rho] &\longmapsto [\rho|_{\pi_1(\partial X)}]. \end{aligned}$$

Sea  $\Delta \in \mathcal{R}(\partial X)$  la subvariedad de representaciones diagonales.

Cada  $\rho \in \Delta$  está determinado por las imágenes de los generadores:

$$\rho(L) = \begin{bmatrix} l & 0 \\ 0 & l^{-1} \end{bmatrix}, \quad \rho(M) = \begin{bmatrix} m & 0 \\ 0 & m^{-1} \end{bmatrix}.$$

Tenemos así un isomorfismo  $\Delta \rightarrow \mathbb{G}_m^2$  dado por  $\rho \mapsto (l, m)$ .

Sea  $\pi_{\partial X}: \mathcal{R}(\partial X) \rightarrow \mathcal{C}(\partial X)$  la proyección. Restringe a  $\pi_{\Delta}: \Delta \rightarrow \mathcal{C}(\partial X)$ .

## El A-polinomio de un nudo (1/2)

Sea un nudo  $K$  y sea  $X$  su exterior. Elegimos generadores de su subgrupo periférico  $\pi_1(\partial X)$ : longitud  $L$  y meridiano  $M$ . (Base  $B = (L, M)$ ).

Proyectamos  $\mathcal{R}(K) := \mathcal{R}_{\mathrm{SL}_2(\mathbb{C})}(\pi_1(X))$  a otra variedad más pequeña: restringimos cada representación  $\rho: \pi_1(X) \rightarrow \mathrm{SL}_2(\mathbb{C})$  a  $\pi_1(\partial X)$ .

$$\begin{aligned} r: \mathcal{R}(K) &\longrightarrow \mathcal{R}(\partial X) & r: \mathcal{C}(K) &\longrightarrow \mathcal{C}(\partial X) \\ \rho &\longmapsto \rho|_{\pi_1(\partial X)}, & [\rho] &\longmapsto [\rho|_{\pi_1(\partial X)}]. \end{aligned}$$

Sea  $\Delta \in \mathcal{R}(\partial X)$  la subvariedad de representaciones diagonales.

Cada  $\rho \in \Delta$  está determinado por las imágenes de los generadores:

$$\rho(L) = \begin{bmatrix} l & 0 \\ 0 & l^{-1} \end{bmatrix}, \quad \rho(M) = \begin{bmatrix} m & 0 \\ 0 & m^{-1} \end{bmatrix}.$$

Tenemos así un isomorfismo  $\Delta \rightarrow \mathbb{G}_m^2$  dado por  $\rho \mapsto (l, m)$ .

Sea  $\pi_{\partial X}: \mathcal{R}(\partial X) \rightarrow \mathcal{C}(\partial X)$  la proyección. Restringe a  $\pi_{\Delta}: \Delta \rightarrow \mathcal{C}(\partial X)$ .

## El A-polinomio de un nudo (2/2)

Ahora, vamos a definir una curva  $D_K$  en  $\mathbb{G}_m^2 \cong \Delta \subset \mathcal{R}(\partial X)$ . La clausura de esta curva en  $\mathbb{C}^2$  quedará determinada por un único ideal **principal**: estará generada por un único polinomio entero en dos variables.

Este será el **A-polinomio** del nudo  $K$ ,  $A_K(l, m)$ , que se define salvo multiplicación por constante.

La construcción es algo técnica.

Tomamos la unión  $X'$  de las componentes irreducibles  $Y'$  de  $\mathcal{C}(K)$  tales que la clausura de  $r(Y')$  tiene dimensión 1.

Para cada componente  $Z'$  de  $X'$ , sea  $Z$  la curva  $\pi_{\Delta}^{-1}(\overline{r(Y')}) \subset \Delta \cong \mathbb{G}_m^2$ . Definimos  $D_K$  como la unión de estas curvas a lo largo de las componentes de  $X'$ .

No vamos a dar aquí los detalles de los pasos farragosos. Véase «Plane Curves Associated to Character Varieties of 3-Manifolds» (Cooper et al., 1994).



## El A-polinomio de un nudo (2/2)

Ahora, vamos a definir una curva  $D_K$  en  $\mathbb{G}_m^2 \cong \Delta \subset \mathcal{R}(\partial X)$ . La clausura de esta curva en  $\mathbb{C}^2$  quedará determinada por un único ideal principal: estará generada por un único polinomio entero en dos variables.

Este será el **A-polinomio** del nudo  $K$ ,  $A_K(l, m)$ , que se define salvo multiplicación por constante.

La construcción es algo técnica.

Tomamos la unión  $X'$  de las componentes irreducibles  $Y'$  de  $\mathcal{C}(K)$  tales que la clausura de  $r(Y')$  tiene dimensión 1.

Para cada componente  $Z'$  de  $X'$ , sea  $Z$  la curva  $\pi_\Delta^{-1}(\overline{r(Y')}) \subset \Delta \cong \mathbb{G}_m^2$ . Definimos  $D_K$  como la unión de estas curvas a lo largo de las componentes de  $X'$ .

No vamos a dar aquí los detalles de los pasos farragosos. Véase «**Plane Curves Associated to Character Varieties of 3-Manifolds**» (Cooper et al., 1994).

# Algunas propiedades del A-polinomio

Detecta al nudo trivial:  $A_{\text{trivial}}(l, m) = 1$ , y es no constante para cualquier otro nudo.

Es invariante por cambios de orientación del nudo.

No es invariante por cambios de orientación del espacio ambiente: convierte  $A_K(l, m)$  en  $A_K(l, m^{-1})$ .

Es decir: distingue nudos de sus imágenes especulares.

Existen métodos numéricos para calcular el A-polinomio de un nudo. Están censados al menos unos 350 nudos (todos hasta 8 cruces y bastantes de 9 y 10 cruces).

## Algunas propiedades del A-polinomio

Detecta al nudo trivial:  $A_{\text{trivial}}(l, m) = 1$ , y es no constante para cualquier otro nudo.

Es invariante por cambios de orientación del nudo.

No es invariante por cambios de orientación del espacio ambiente: convierte  $A_K(l, m)$  en  $A_K(l, m^{-1})$ .

Es decir: distingue nudos de sus imágenes especulares.

Existen métodos numéricos para calcular el A-polinomio de un nudo. Están censados al menos unos 350 nudos (todos hasta 8 cruces y bastantes de 9 y 10 cruces).

## Algunas propiedades del A-polinomio

Detecta al nudo trivial:  $A_{\text{trivial}}(l, m) = 1$ , y es no constante para cualquier otro nudo.

Es invariante por cambios de orientación del nudo.

No es invariante por cambios de orientación del espacio ambiente: convierte  $A_K(l, m)$  en  $A_K(l, m^{-1})$ .

Es decir: distingue nudos de sus imágenes especulares.

Existen métodos numéricos para calcular el A-polinomio de un nudo. Están censados al menos unos 350 nudos (todos hasta 8 cruces y bastantes de 9 y 10 cruces).

**¡Gracias por vuestra atención!**

## Bibliografía

---

- [ABL18] C. Ashley, J.-P. Burelle y S. Lawton. «**Rank 1 Character Varieties of Finitely Presented Groups**». En: *Geometriae Dedicata* 192.1 (2018), págs. 1-19.
- [CL98] D. Cooper y D. Long. «**Representation Theory and the A-polynomial of a Knot**». En: *Chaos, Solitons & Fractals* 9.4-5 (1998), págs. 749-763. DOI: 10.1016/S0960-0779(97)00102-1.
- [Coo+94] D. Cooper, M. Culler, H. Gillet, D. D. Long y P. B. Shalen. «**Plane Curves Associated to Character Varieties of 3-Manifolds**». En: *Inventiones Mathematicae* 118.1 (1994), págs. 47-84. DOI: 10.1007/BF01231526.

- [GLM21]    Á. González-Prieto, M. Logares y V. Muñoz. «**Representation Variety for the Rank One Affine Group**». En: *Mathematical Analysis in Interdisciplinary Research*. Springer Optimization and Its Applications. Cham: Springer International Publishing, 2021, págs. 381-416. DOI: 10.1007/978-3-030-84721-0\_18.
- [LS17]    S. Lawton y A. S. Sikora. «**Varieties of Characters**». En: *Algebras and Representation Theory* 20.5 (2017), págs. 1133-1141.
- [Mar22]    A. Maret. «**A Note on Character Varieties**». 2022. URL: <https://arnaudmaret.com/files/character-varieties.pdf>.
- [Nag63]    M. Nagata. «**Invariants of Group in an Affine Ring**». En: *Kyoto Journal of Mathematics* 3.3 (1963). DOI: 10.1215/kjm/1250524787.



- [Nak00] K. Nakamoto. «**Representation Varieties and Character Varieties**». En: *Publications of the Research Institute for Mathematical Sciences* 36.2 (2000), págs. 159-189. DOI: [10.2977/prims/1195143100](https://doi.org/10.2977/prims/1195143100).
- [New12] P. E. Newstead. **Introduction to Moduli Problems and Orbit Spaces**. Col. de T. I. of Fundamental Research. Lectures on Mathematics / Tata Institute of Fundamental Research 51. New Delhi: Narosa Publ. House, 2012. ISBN: 978-81-8487-162-3.
- [Por17] J. Porti. «**Character Varieties and Knot Symmetries**». En: *Winter Braids Lecture Notes* 4 (2017), pág. 21. DOI: [10.5802/wbln.18](https://doi.org/10.5802/wbln.18).

## Grupos reductivos

---

# Grupos reductivos

Hay varias definiciones y terminologías históricas no completamente equivalentes. Damos la del capítulo 3 de *Introduction to Moduli Problems and Orbit Spaces* (Peter E. Newstead).

## Definición

Un grupo algebraico lineal  $G$  se dice **reductivo** si para cada acción de  $G$  en  $\mathbb{C}^n$ , y cada punto fijo  $0 \neq v \in \mathbb{C}^n$ , existe un polinomio homogéneo  $G$ -invariante  $f$  de grado  $\geq 1$  tal que  $f(v) \neq 0$ .

Todo grupo algebraico (semi-)simple es reductivo.

No todo grupo es reductivo: por ejemplo,

$$H = \begin{bmatrix} 1 & x \\ 0 & 1 \end{bmatrix} < \mathrm{SL}_2(\mathbb{C}).$$

no es reductivo. Tampoco lo es  $(\mathbb{C}, +)$  (pero sí  $(\mathbb{C} \setminus \{0\}, \cdot) =: \mathbb{G}_m$ ).